



UNIVERSITÀ
di VERONA

Dipartimento
di **INFORMATICA**

Laurea magistrale in Ingegneria e scienze informatiche

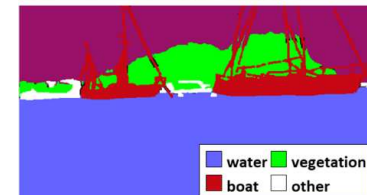
Cinematica

*manovrabilità e
traiettorie*

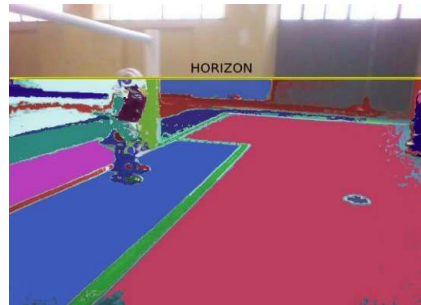


*Corso di Robotica
Parte di Laboratorio*

Docente:
Domenico Daniele Bloisi



Ottobre 2017

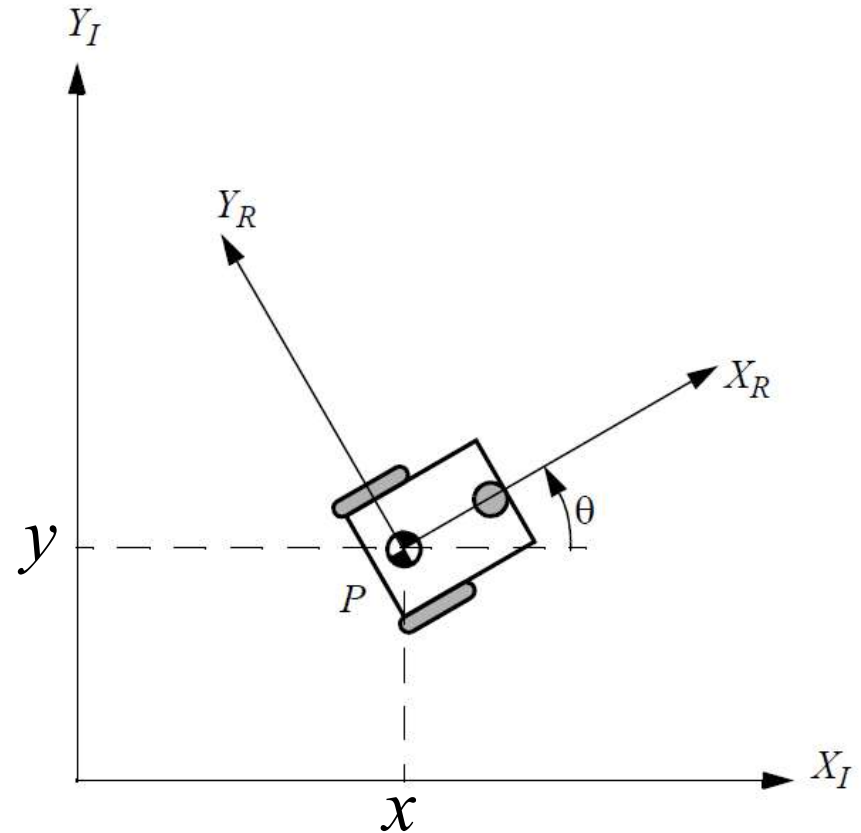


Posizione P nel frame globale

- Il punto P è rappresentato nel frame globale dalle coordinate x e y
- la differenza angolare tra i frame locale e globale è data da θ
- Robot pose:

$$\xi_I = \begin{bmatrix} x \\ y \\ \theta \end{bmatrix}$$

espressa nel frame
di riferimento globale

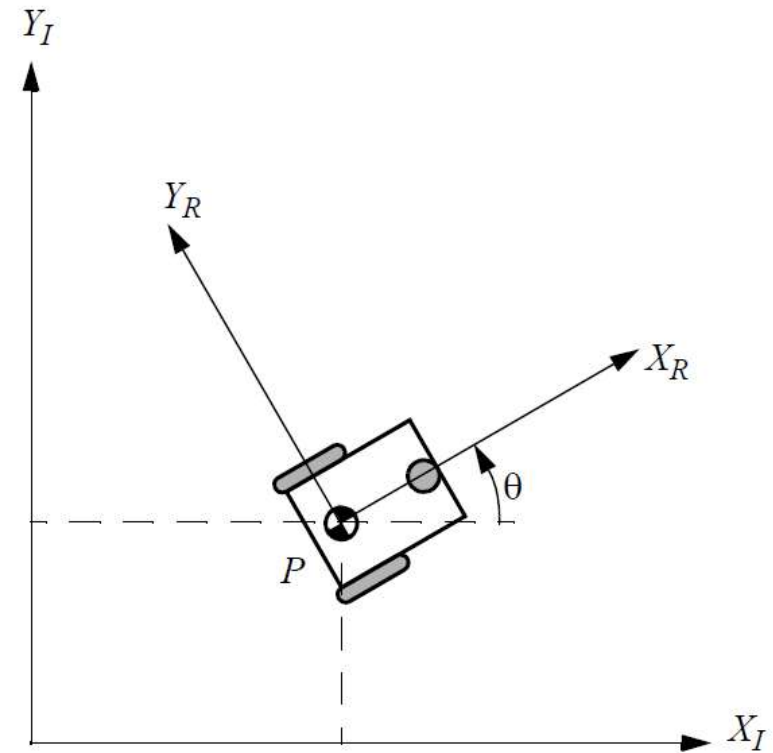
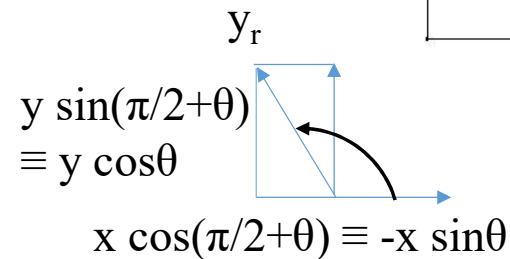
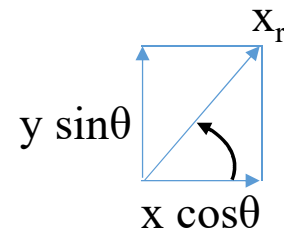


Matrice di rotazione ortogonale

- La matrice di rotazione ortogonale $R(\theta)$ serve a mappare nel frame di riferimento del robot $\{X_R, Y_R\}$ il movimento calcolato nel frame di riferimento globale $\{X_I, Y_I\}$

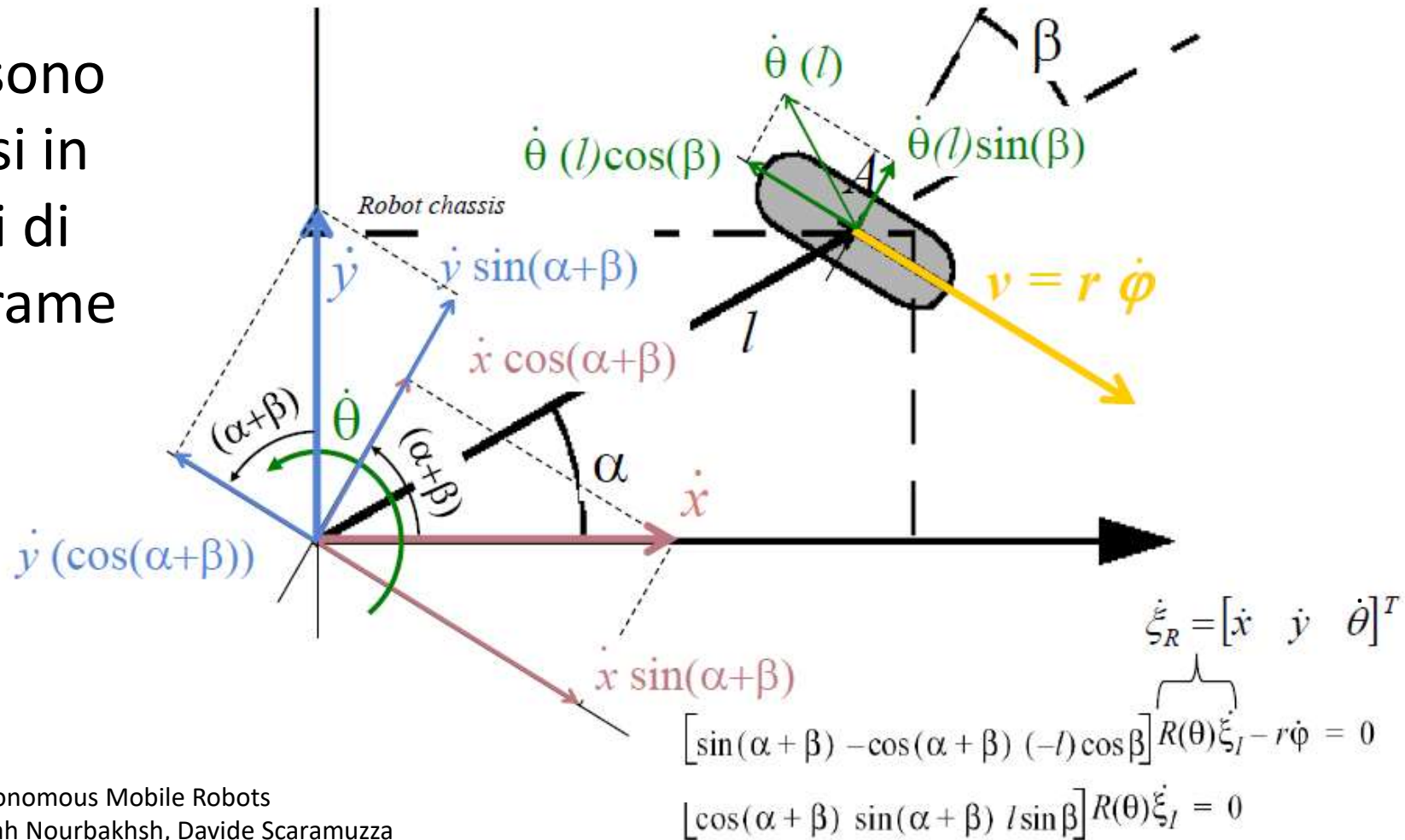
$$R(\theta) = \begin{bmatrix} \cos\theta & \sin\theta & 0 \\ -\sin\theta & \cos\theta & 0 \\ 0 & 0 & 1 \end{bmatrix}$$

- otteniamo $\dot{\xi}_R = R(\theta)\dot{\xi}_I$



Vincoli - ruota semplice fissa

α , β , l sono espressi in termini di body frame



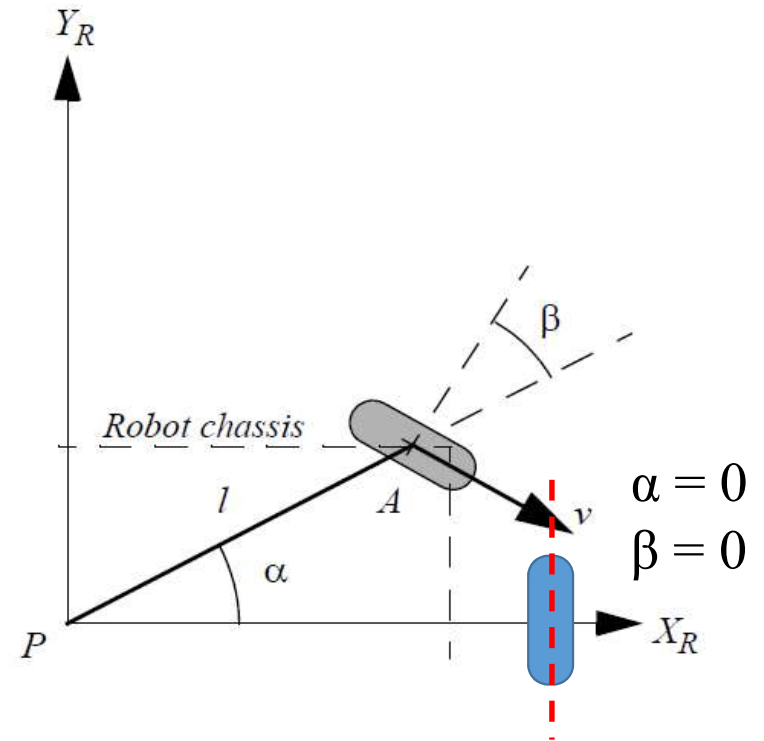
Esempio - ruota semplice fissa

Vincolo di puro scivolamento $\begin{bmatrix} \cos(\alpha + \beta) & \sin(\alpha + \beta) & l \sin \beta \end{bmatrix} R(\theta) \dot{\xi}_I = 0$

- Supponiamo che la ruota A sia in una posizione per la quale si abbia $\alpha = 0$ $\beta = 0$
- Se $\theta = 0$
 - Il punto di contatto della ruota sarà sull'asse X_I
 - Il piano della ruota sarà parallelo a Y_I
 - il vincolo di rotolamento si ridurrà a:

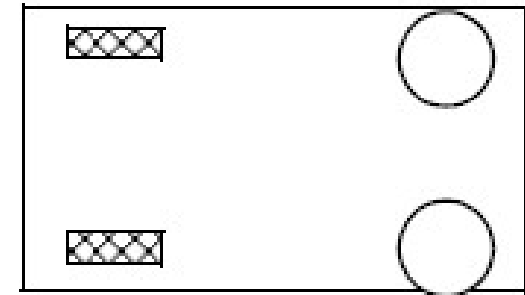
$$\begin{bmatrix} 1 & 0 & 0 \end{bmatrix} \begin{bmatrix} 1 & 0 & 0 \\ 0 & 1 & 0 \\ 0 & 0 & 1 \end{bmatrix} \begin{bmatrix} \dot{x} \\ \dot{y} \\ \dot{\theta} \end{bmatrix} = \begin{bmatrix} 1 & 0 & 0 \end{bmatrix} \begin{bmatrix} \dot{x} \\ \dot{y} \\ \dot{\theta} \end{bmatrix} = 0$$

- La componente di velocità lungo X_I sarà quindi vincolata ad essere 0



Vincoli cinematici del robot completo

- Dato un robot con M ruote:
 - Ogni ruota impone uno o più vincoli sul movimento del robot
 - Solo le ruote semplici fisse e sterzanti impongono vincoli sul movimento della scocca del robot
 - Le ruote tipo castor, swedish e sferiche non impongono vincoli cinematici sulla scocca poichè il robot è libero di muoversi contando sui gradi di libertà interni alle ruote



$$M = 4$$

Vincoli cinematici del robot completo

N = numero di ruote semplici

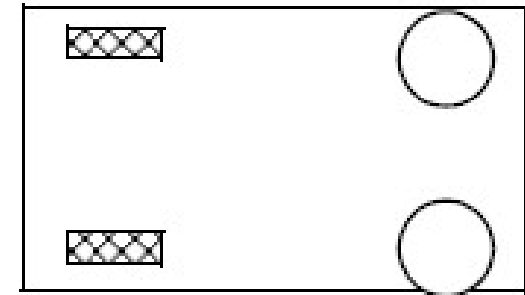
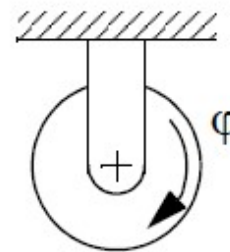
N_f = ruote fisse

β_f = angolo di orientazione (fisso)

N_s = ruote sterzanti

$\beta_s(t)$ = angolo di sterzata (variabile nel tempo)

Posizione rotazionale $\varphi(t) = \begin{bmatrix} \varphi_f(t) \\ \varphi_s(t) \end{bmatrix}$



$$M = 4$$

$$N = 2$$

$$N_f = 2$$

$$N_s = 0$$

Rotolamento - Robot completo

I vincoli di puro rotolamento per tutte le ruote possono essere racchiusi in una singola espressione

$$J_1(\beta_s)R(\theta)\dot{\xi}_I + J_2\dot{\varphi} = 0$$

$$J_1(\beta_s) = \begin{bmatrix} J_{1f} \\ J_{1s}(\beta_s) \end{bmatrix}_{(N_f+N_s) \times 3}$$

$$J_2 = \text{diag}(r_1 \cdots r_N)$$

$$\varphi(t) = \begin{bmatrix} \varphi_f(t) \\ \varphi_s(t) \end{bmatrix}_{(N_f+N_s) \times 1}$$

$$\begin{bmatrix} \sin(\alpha + \beta) & -\cos(\alpha + \beta) & (-l) \cos \beta \end{bmatrix} R(\theta)\dot{\xi}_I - r\dot{\varphi} = 0$$

Scivolamento - Robot completo

Allo stesso modo i vincoli di scivolamento per tutte le ruote possono essere racchiusi in una singola espressione

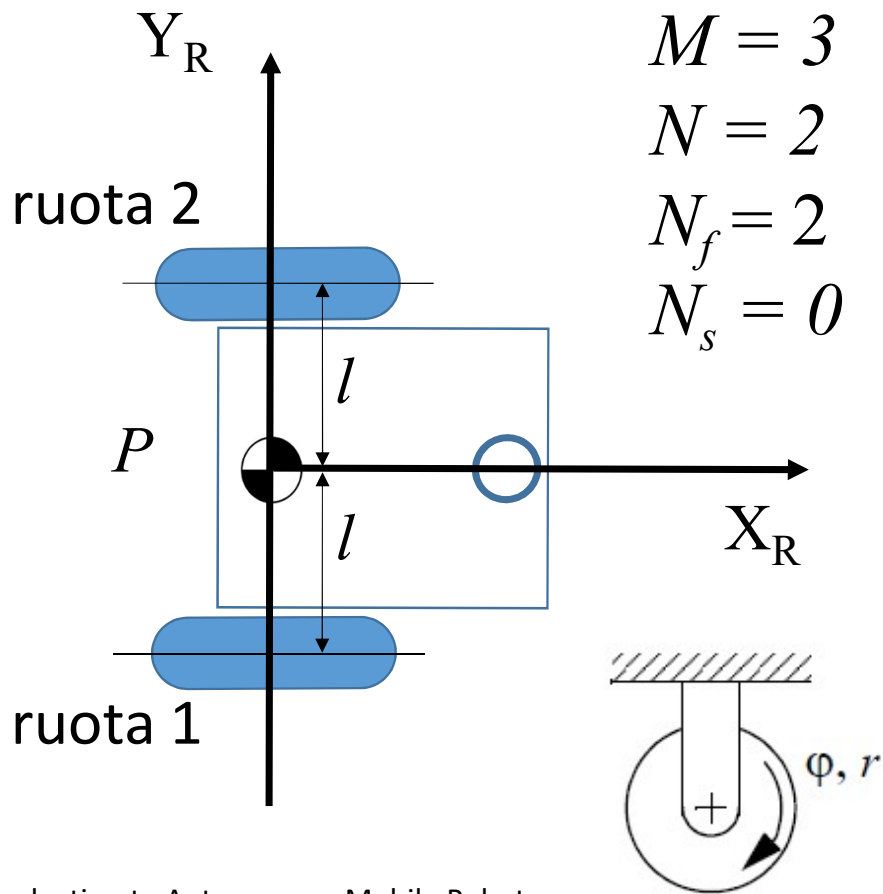
$$C_1(\beta_s)R(\theta)\dot{\xi}_I = 0$$

The diagram illustrates the decomposition of the constraint matrix $C_1(\beta_s)$ into two parts: C_{1f} (constraints for fixed wheels) and $C_{1s}(\beta_s)$ (constraints for steered wheels). A red arrow points from the $C_1(\beta_s)$ term in the top equation to the matrix definition below. Another red arrow points from the $C_{1s}(\beta_s)$ term to the boxed equation below, which shows the constraint for the steered wheels: $[\cos(\alpha + \beta) \quad \sin(\alpha + \beta) \quad l \sin \beta] R(\theta) \dot{\xi}_I = 0$.

$$C_1(\beta_s) = \begin{bmatrix} C_{1f} \\ C_{1s}(\beta_s) \end{bmatrix}_{(N_f + N_s) \times 3}$$
$$[\cos(\alpha + \beta) \quad \sin(\alpha + \beta) \quad l \sin \beta] R(\theta) \dot{\xi}_I = 0$$

- I vincoli di scivolamento sulle ruote fisse sono i vincoli di maggiore impatto sulla manovrabilità del robot

Esempio: Differential drive robot



$$M = 3$$

$$N = 2$$

$$N_f = 2$$

$$N_s = 0$$

vincoli

$$J_1(\beta_s)R(\theta)\dot{\xi}_I + J_2\dot{\varphi} = 0$$

$$C_1(\beta_s)R(\theta)\xi_I = 0$$

- castor non motorizzato e libero di muoversi in ogni direzione \rightarrow possiamo ignorarlo
- ruota 1 e ruota 2 motorizzate e non sterzanti \rightarrow

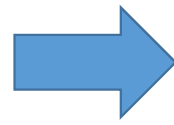
$$J_1(\beta_s) \text{ si semplifica in } J_{1f}$$

$$C_1(\beta_s) \text{ si semplifica in } C_{1f}$$

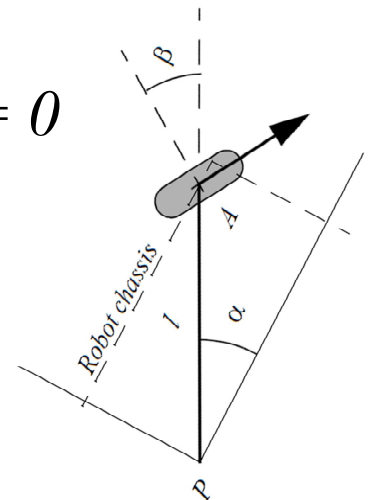
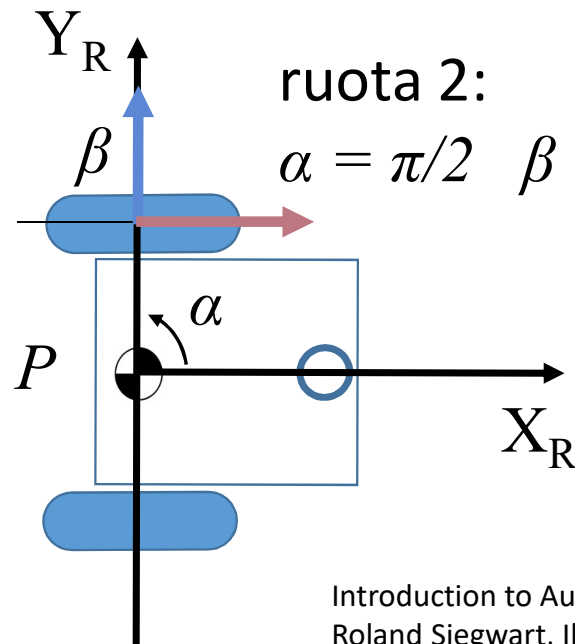
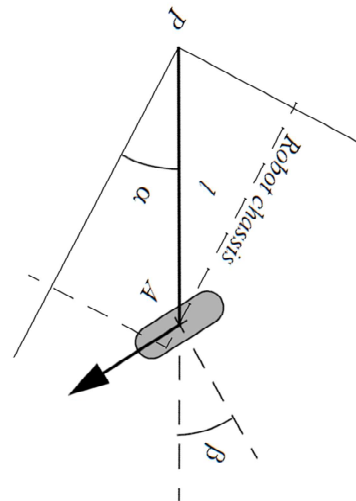
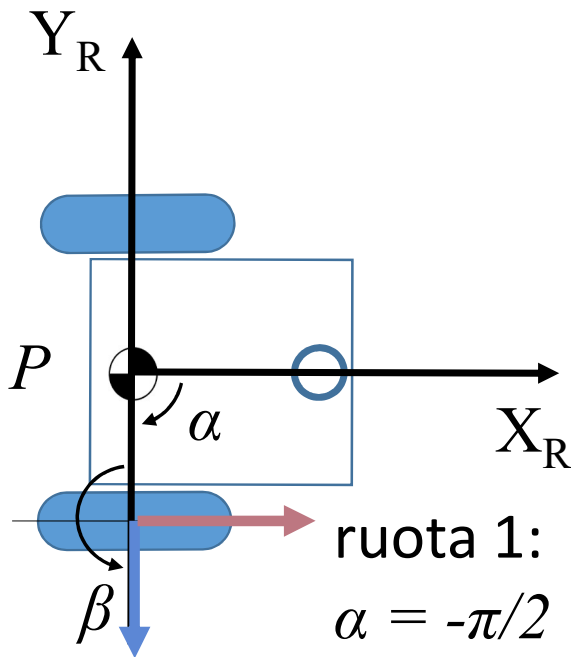
Esempio: Differential drive robot

$$J_1(\beta_s)R(\theta)\dot{\xi}_I + J_2\dot{\phi} = 0$$

$$C_1(\beta_s)R(\theta)\xi_I = 0$$



$$\begin{bmatrix} J_1(\beta_s) \\ C_1(\beta_s) \end{bmatrix} R(\theta)\dot{\xi}_I = \begin{bmatrix} J_2\dot{\phi} \\ 0 \end{bmatrix}$$



Esempio: Differential drive robot

$$\begin{bmatrix} J_1(\beta_s) \\ C_1(\beta_s) \end{bmatrix} R(\theta) \dot{\xi}_I = \begin{bmatrix} J_2 \dot{\varphi} \\ 0 \end{bmatrix}$$

ruota 1: $\begin{bmatrix} \sin(\alpha + \beta) & -\cos(\alpha + \beta) & (-l) \cos \beta \end{bmatrix}$
 $\alpha = -\pi/2 \quad \beta = \pi$

ruota 2: $\begin{bmatrix} \sin(\alpha + \beta) & -\cos(\alpha + \beta) & (-l) \cos \beta \end{bmatrix}$
 $\alpha = \pi/2 \quad \beta = 0$

$$\begin{bmatrix} 1 & 0 & l \\ 1 & 0 & -l \\ 0 & 1 & 0 \end{bmatrix} R(\theta) \dot{\xi}_I = \begin{bmatrix} J_2 \dot{\varphi} \\ 0 \end{bmatrix}$$

Le ruote sono parallele e si ha un'unica equazione indipendente per il vincolo di scivolamento

ruota 1: $\begin{bmatrix} \cos(\alpha + \beta) & \sin(\alpha + \beta) & l \sin \beta \end{bmatrix}$
 $\alpha = -\pi/2 \quad \beta = \pi$

$$\dot{\xi}_I = R(\theta)^{-1} \begin{bmatrix} 1 & 0 & l \\ 1 & 0 & -l \\ 0 & 1 & 0 \end{bmatrix}^{-1} \begin{bmatrix} J_2 \dot{\varphi} \\ 0 \end{bmatrix} = R(\theta)^{-1} \begin{bmatrix} \frac{1}{2} & \frac{1}{2} & 0 \\ 0 & 0 & 1 \\ \frac{1}{2l} & -\frac{1}{2l} & 0 \end{bmatrix} \begin{bmatrix} J_2 \dot{\varphi} \\ 0 \end{bmatrix}$$

Esempio: Differential drive robot

$$\dot{\xi}_I = R(\theta)^{-1} \begin{bmatrix} 1 & 0 & l \\ 1 & 0 & -l \\ 0 & 1 & 0 \end{bmatrix}^{-1} \begin{bmatrix} J_2 \dot{\varphi} \\ 0 \end{bmatrix} = R(\theta)^{-1} \begin{bmatrix} \frac{1}{2} & \frac{1}{2} & 0 \\ 0 & 0 & 1 \\ \frac{1}{2l} & -\frac{1}{2l} & 0 \end{bmatrix} \begin{bmatrix} J_2 \dot{\varphi} \\ 0 \end{bmatrix}$$



$$\dot{\xi}_I = R(\theta)^{-1} \begin{bmatrix} \frac{r\dot{\varphi}_1 + r\dot{\varphi}_2}{2} \\ 0 \\ \frac{r\dot{\varphi}_1}{2l} + \frac{-r\dot{\varphi}_2}{2l} \end{bmatrix} = \begin{bmatrix} \cos \theta & -\sin \theta & 0 \\ \sin \theta & \cos \theta & 0 \\ 0 & 0 & 1 \end{bmatrix} \begin{bmatrix} \frac{r\dot{\varphi}_1}{2} + \frac{r\dot{\varphi}_2}{2} \\ 0 \\ \frac{r\dot{\varphi}_1}{2l} + \frac{-r\dot{\varphi}_2}{2l} \end{bmatrix}$$

Manovrabilità

- La manovrabilità di un robot mobile è data dalla combinazione
 - della mobilità disponibile in base ai **vincoli di scivolamento**
 - più la libertà di movimento che deriva dalla **possibilità di sterzare**

- Grado di mobilità δ_m
- Grado di sterzabilità δ_s
- Manovrabilità del robot $\delta_M = \delta_m + \delta_s$

Manovrabilità: grado di mobilità

- Per evitare slittamenti laterali, il vettore di movimento $R(\theta)\dot{\xi}_I$ deve soddisfare i seguenti vincoli:

vincoli di scivolamento separati per ruote fisse e sterzanti \Rightarrow

$$\begin{aligned} C_{1f}R(\theta)\dot{\xi}_I &= 0 \\ C_{1s}(\beta_s)R(\theta)\dot{\xi}_I &= 0 \end{aligned} \Rightarrow C_1(\beta_s) = \begin{bmatrix} C_{1f} \\ C_{1s}(\beta_s) \end{bmatrix}$$

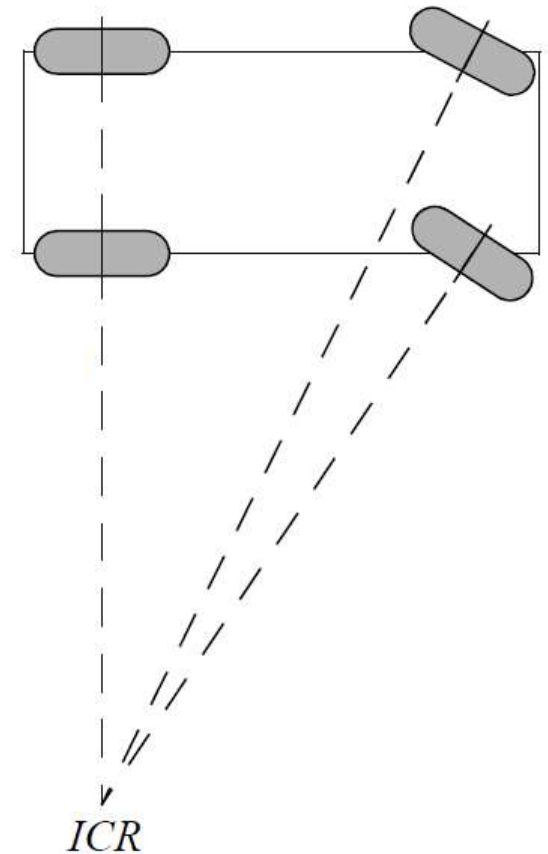
- Il vettore $R(\theta)\dot{\xi}_I$ deve appartenere al *null space* della matrice $C_1(\beta_s)$
- Il null space (o kernel) di $C_1(\beta_s)$ è lo spazio N tale che per ogni vettore n appartenente ad N

$$C_1(\beta_s) \cdot n = 0$$

- Se i vincoli cinematici sono rispettati, allora il movimento del robot deve avvenire in questo spazio N

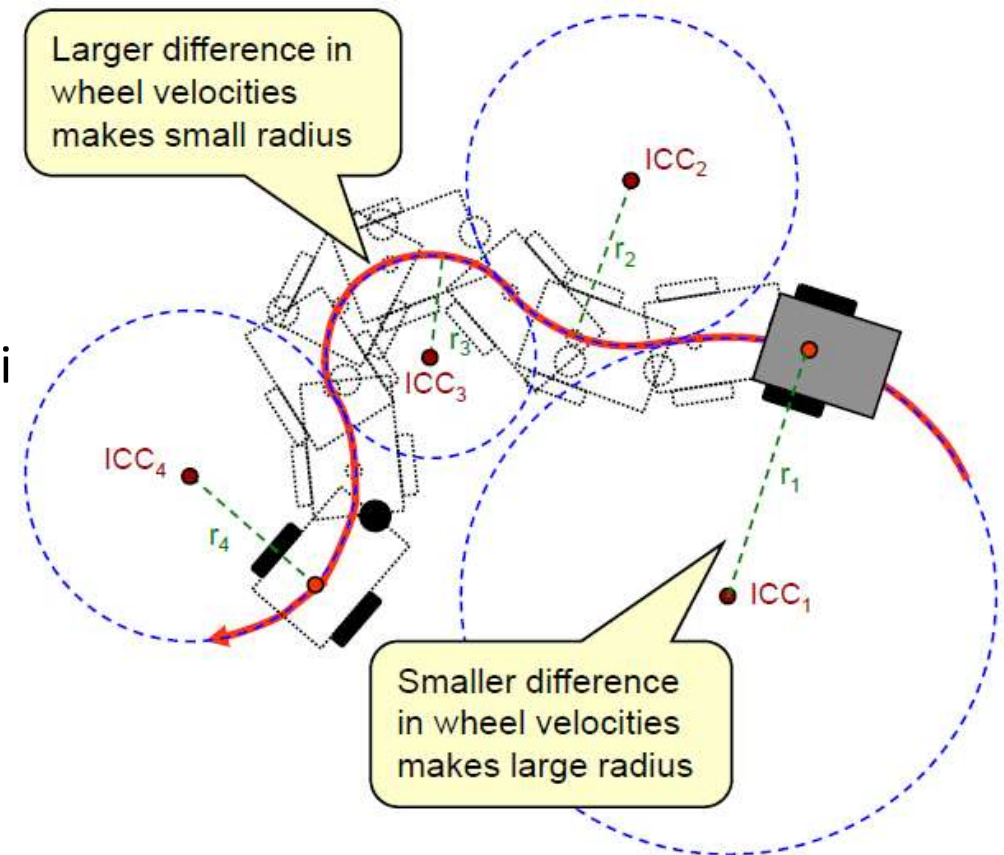
Grado di mobilità

- Il grado di mobilità indica i gradi di libertà del robot controllabili in base alle variazioni di velocità impresse alle ruote
- I vincoli cinematici del robot rispetto al grado di mobilità possono essere dimostrati geometricamente facendo uso del concetto di *instantaneous center of rotation (ICR)*



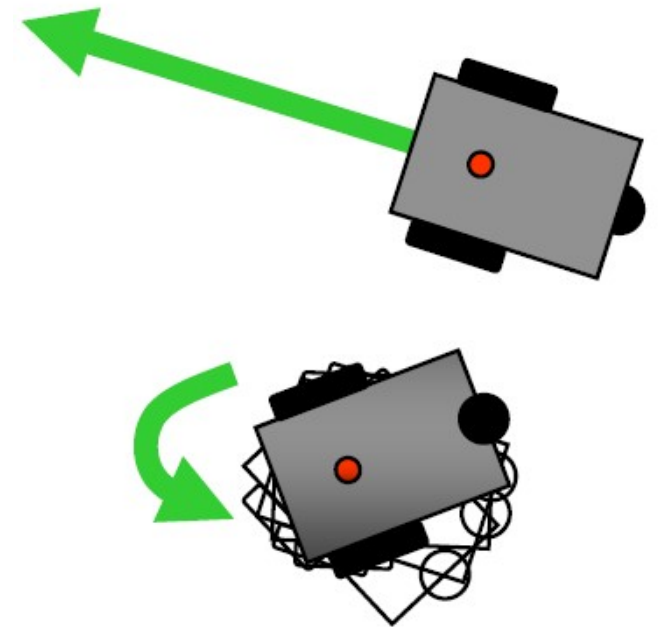
Instantaneous Center of Rotation (ICR)

- Esiste una *zero motion line* lungo l'asse orizzontale perpendicolare al piano di ogni ruota
- La ruota si muove istantaneamente lungo una circonferenza di raggio R , il cui centro si trova lungo la zero motion line. Questo centro è l'ICR, detto anche instantaneous center of curvature (ICC)
- L'ICR varia nel tempo in funzione delle velocità delle singole ruote



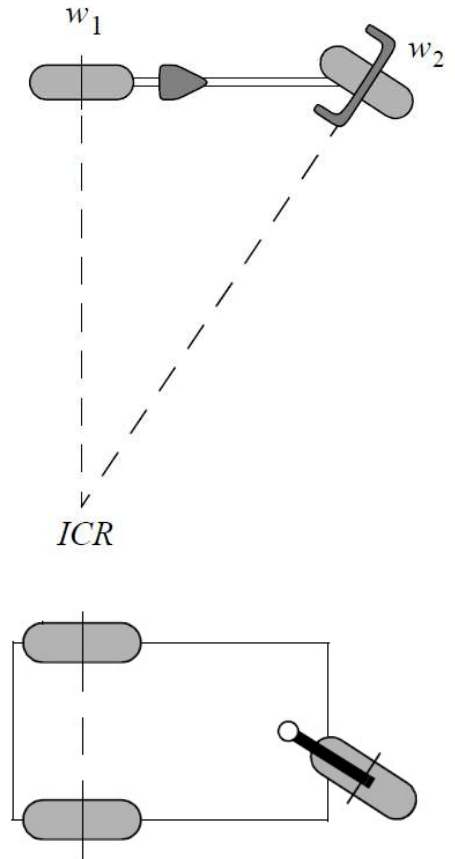
Instantaneous Center of Rotation (ICR)

- Quando il valore di R è all'infinito, le velocità delle ruote sono equivalenti e il robot si muove su una linea retta
- Quando il valore di R è nullo, le velocità delle ruote sono uguali e opposte e il robot ruota sul posto
- In tutti i casi in cui R sia finito e non-nullo, il robot segue una traiettoria curva relativa ad un punto a distanza R dal centro di massa del robot
- I differential drive robot sono molto sensibili alle differenze di velocità delle due ruote, pertanto è difficile ottenere traiettorie lungo linee perfettamente dritte



Mobilità del robot

- Il grado di mobilità del robot è funzione del numero di vincoli sul movimento del robot e non è funzione del numero delle ruote
- Una bicicletta ha 2 vincoli cinematici indipendenti poiché ogni ruota impone un vincolo (ogni ruota ha una propria zero motion line)
- Un differential drive robot ha un unico vincolo cinematico poiché l'ICR giace lungo una linea e la seconda ruota non impone vincoli cinematici aggiuntivi



Grado di mobilità

- La cinematica del robot è una funzione dell'insieme dei **vincoli indipendenti** imposti da tutte le ruote semplici

$$\begin{aligned} C_{1f}R(\theta)\dot{\xi}_I &= 0 \\ C_{1s}(\beta_s)R(\theta)\dot{\xi}_I &= 0 \end{aligned} \quad C_1(\beta_s) = \begin{bmatrix} C_{1f} \\ C_{1s}(\beta_s) \end{bmatrix}$$

- L'interpretazione matematica di indipendenza è legata al rango di una matrice. Infatti, il rango di una matrice è il minor numero di righe o colonne indipendenti in essa.
- Perciò $\text{rank}[C_1(\beta_s)]$ è il numero di vincoli indipendenti
- Più grande è il numero di **vincoli indipendenti**, minore sarà il **grado di mobilità del robot**

Esempi

- Ruota fissa singola
- Posizione della ruota data dai parametri α , β , l nelle coordinate locali del robot
- avremo

$$C_1(\beta_s)R(\theta)\xi_I = 0 \quad C_1(\beta_s) = \begin{bmatrix} C_{1f} \\ C_{1s}(\beta_s) \end{bmatrix} \text{ vuoto}$$

$$C_1(\beta_s) = C_{1f} = \begin{bmatrix} \cos(\alpha + \beta) & \sin(\alpha + \beta) & l \sin \beta \end{bmatrix}$$

$$\text{rank} \begin{bmatrix} C_1(\beta_s) \end{bmatrix} = 1$$

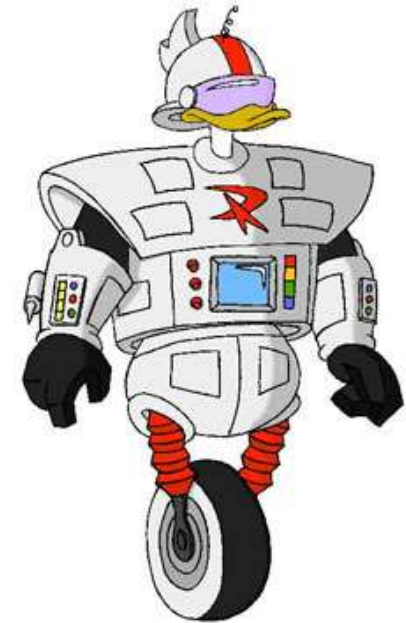


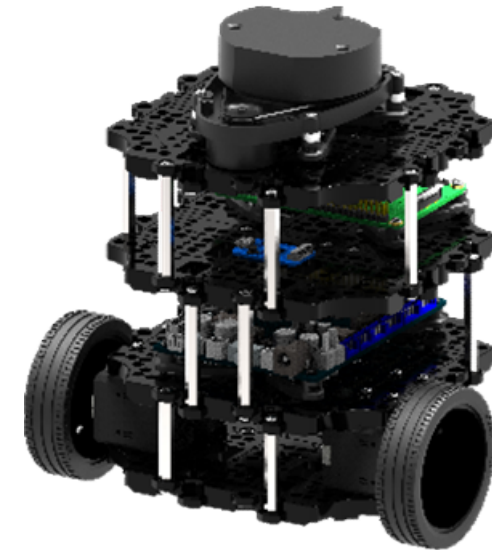
image from
<http://blogs.discovermagazine.com/discoblog/2010/04/13/its-a-robot-unicycle-or-a-segway-split-in-half-actually-we-dont-know/#.WfCq-mh-rIU>

Esempi

- Due ruote semplici fisse
- Posizione della ruota 1 data dai parametri α_1, β_1, l_1 nelle coordinate locali del robot
- ruota 2: α_2, β_2, l_2
- avremo $\{(l_1 = l_2), (\beta_1 = \beta_2 = 0), (\alpha_1 + \pi = \alpha_2)\}$

$$C_1(\beta_s) = C_{1f} = \begin{bmatrix} \cos(\alpha_1) & \sin(\alpha_1) & 0 \\ \cos(\alpha_1 + \pi) & \sin(\alpha_1 + \pi) & 0 \end{bmatrix}$$

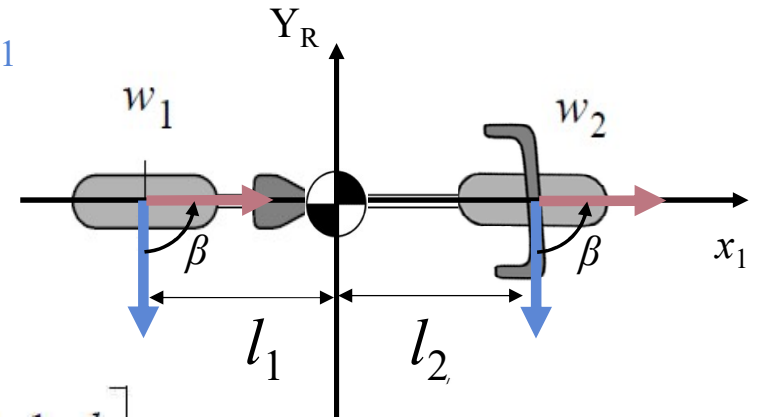
$$\text{rank} \begin{bmatrix} C_1(\beta_s) \end{bmatrix} = 1$$



$$\begin{bmatrix} \cos(\alpha + \beta) & \sin(\alpha + \beta) & l \sin \beta \end{bmatrix}$$

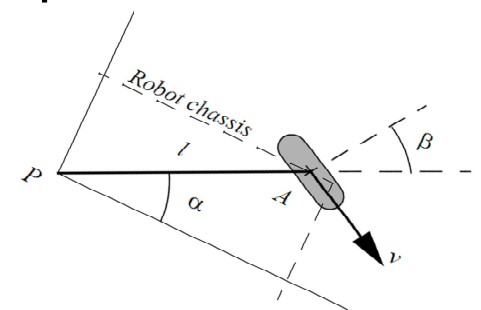
Esempi

- **Bicicletta**
- Posizione della ruota 1 data dai parametri α_1, β_1, l_1 nelle coordinate locali della bici
- ruota 2: α_2, β_2, l_2 **con ruota fissa in direzione dell'asse x_1**
- avremo $\{(l_1 = l_2), (\beta_1 = \beta_2 = \pi/2), (\alpha_1 = 0), (\alpha_2 = \pi)\}$

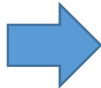
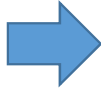


$$C_1(\beta_s) = C_{1f} = \begin{bmatrix} \cos(\pi/2) & \sin(\pi/2) & l_1 \sin(\pi/2) \\ \cos(3\pi/2) & \sin(3\pi/2) & l_1 \sin(\pi/2) \end{bmatrix} = \begin{bmatrix} 0 & 1 & l_1 \\ 0 & -1 & l_1 \end{bmatrix}$$

$$\text{rank} [C_1(\beta_s)] = 2$$



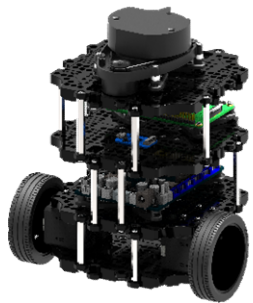
Grado di mobilità δ_m

- Se $\text{rank}[C_{1f}] > 1$ il robot può al massimo viaggiare lungo una circonferenza o una linea retta
- In generale, avremo $0 \leq \text{rank}[C_1(\beta_s)] \leq 3$
- se $\text{rank}[C_1(\beta_s)] = 0$  $N_f = N_s = 0$ assenza di ruote semplici
- se $\text{rank}[C_1(\beta_s)] = 3$  il robot è completamente vincolato in tutte le direzioni, il movimento sul piano è impossibile

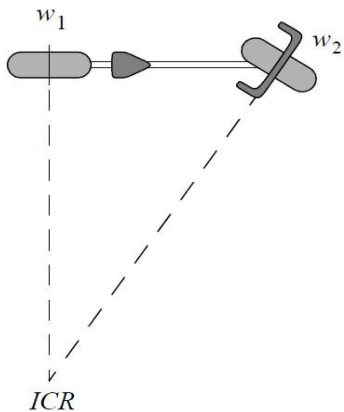
Definizione di grado di mobilità δ_m

$$\delta_m = \dim N[C_1(\beta_s)] = 3 - \text{rank}[C_1(\beta_s)]$$

Esempi: grado di mobilità δ_m



- Due ruote fisse con asse in comune
 $\delta_m = 2$
possiamo controllare i cambi di orientazioni e la velocità di avanzamento (e retromarcia) variando la velocità delle due ruote



- Una ruota fissa e una ruota sterzante con assi diversi
 $\delta_m = 1$
possiamo controllare solo la velocità di avanzamento (e retromarcia) variando la velocità delle due ruote.
Solo sterzando si può variare l'ICR

Grado di sterzabilità

- Definito come

$$\delta_s = \text{rank} \left[C_{1s}(\beta_s) \right]$$

con range $0 \leq \delta_s \leq 2$

- La particolare orientazione ad ogni istante impone un vincolo cinematico
- Tuttavia, la capacità di cambiare l'orientazione può portare ad accrescere la manovrabilità del robot

- Esempi:

- una ruota sterzante: Triciclo $\delta_s = 1$
- due ruote sterzanti: assenza di ruote fisse semplici $N_f = 0$ $\delta_s = 2$
- automobile (Ackermann steering): $N_f = 2$ e $N_s = 2$ con asse in comune \rightarrow
 $\delta_s = 1$
 $\delta_m = 1$

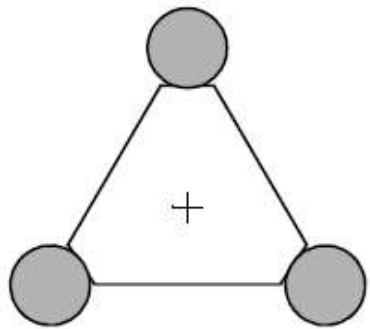
Grado di manovrabilità δ_M

- Definito come

$$\delta_M = \delta_m + \delta_s$$

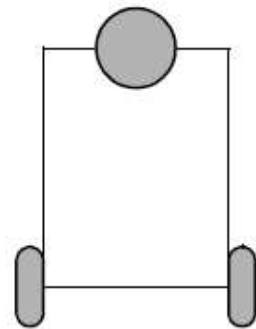
- include
 - i gradi di libertà che il robot può gestire direttamente variando la velocità delle ruote
 - i gradi di libertà gestibili indirettamente cambiando la configurazione di sterzata e muovendosi
- Due robot con lo stesso valore di δ_M non sono necessariamente equivalenti
- Per ogni robot con $\delta_M = 2$ l'ICR è vincolato a giacere su una linea
- Per ogni robot con $\delta_M = 3$ l'ICR può assumere un qualunque valore sul piano

Manovrabilità: configurazioni a 3 ruote



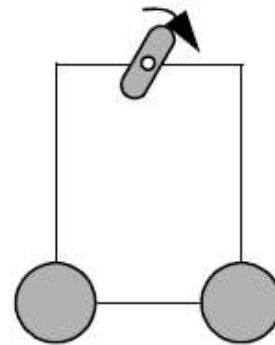
Omnidirectional

$$\begin{aligned}\delta_M &= 3 \\ \delta_m &= 3 \\ \delta_s &= 0\end{aligned}$$



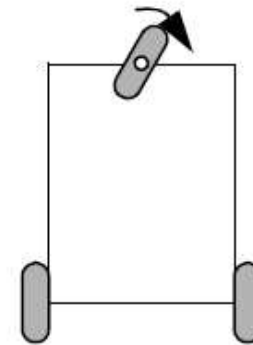
Differential

$$\begin{aligned}\delta_M &= 2 \\ \delta_m &= 2 \\ \delta_s &= 0\end{aligned}$$



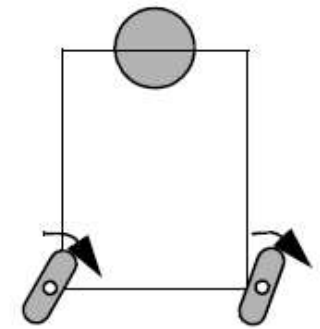
Omni-Steer

$$\begin{aligned}\delta_M &= 3 \\ \delta_m &= 2 \\ \delta_s &= 1\end{aligned}$$



Tricycle

$$\begin{aligned}\delta_M &= 2 \\ \delta_m &= 1 \\ \delta_s &= 1\end{aligned}$$



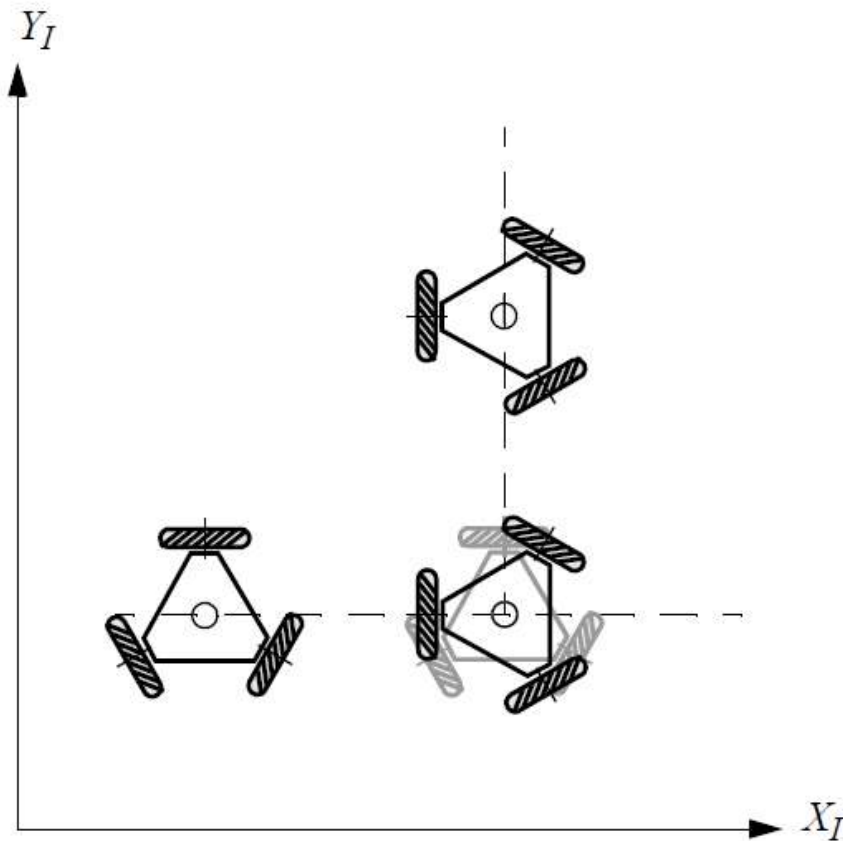
Two-Steer

$$\begin{aligned}\delta_M &= 3 \\ \delta_m &= 1 \\ \delta_s &= 2\end{aligned}$$

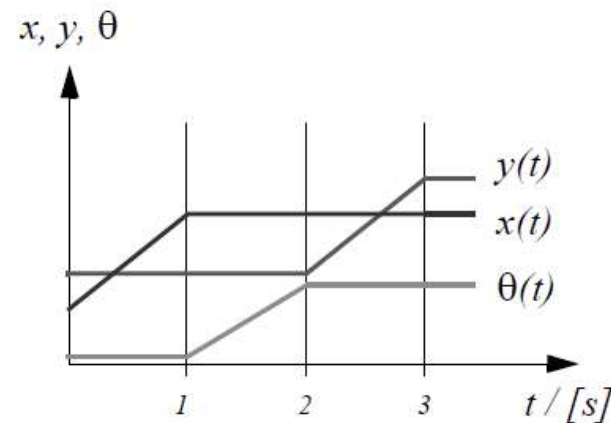
Controllo del movimento

- L'obiettivo di un controllore cinematico è quello di seguire una traiettoria descritta dalla sua posizione o profilo di velocità come una **funzione nel tempo**
- Una traiettoria è come un percorso (*path*) ma con l'aggiunta della dimensione **tempo**
- La maggior parte dei controllori non considerano la **dinamica** del sistema

Traiettoria



- Per un robot omnidirezionale sul piano, un path sarà una traccia attraverso uno spazio 3D di robot pose
- Per lo stesso robot, una traiettoria sarà una traccia attraverso uno spazio 4D (pose + tempo)

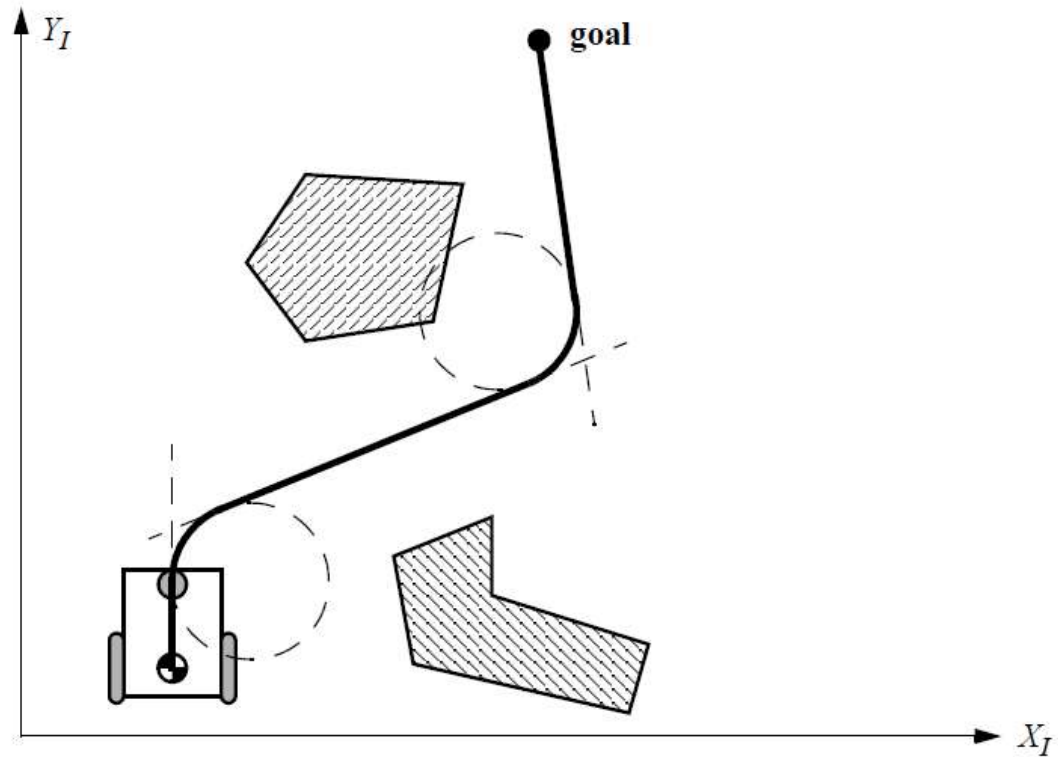


Controllo open-loop

Possibile strategia:

- Dividere la traiettoria in segmenti di movimento di forma nota. Per esempio: segmenti e archi di circonferenza

Questo approccio si definisce **open-loop control**, pochè non vi è alcun feedback sulla posizione del robot e sulla sua velocità



Svantaggi del controllo open-loop

Il controllo open-loop presenta notevoli svantaggi:

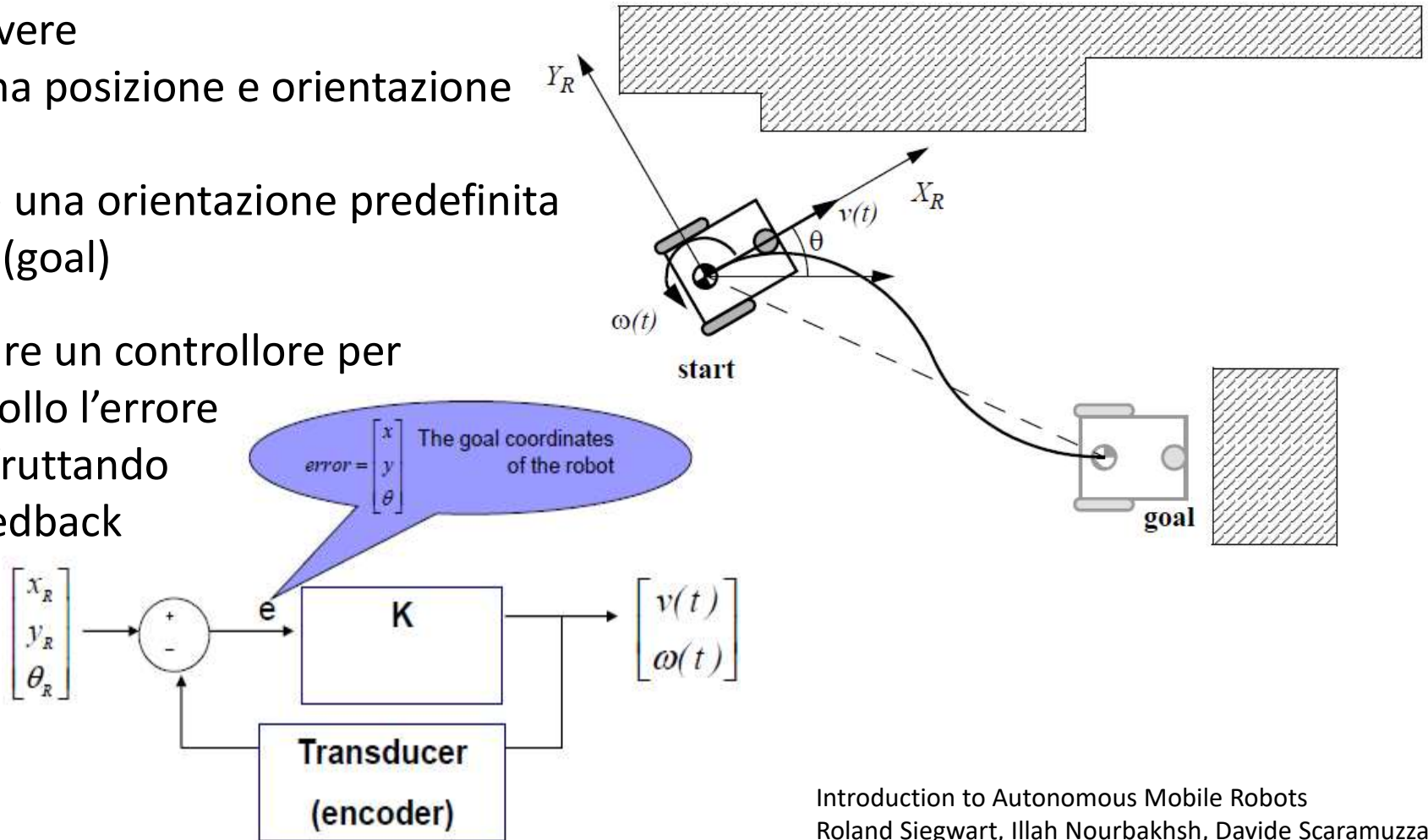
- Non è sempre facile calcolare in anticipo una traiettoria che sia realizzabile dal robot
- Non sempre è possibile tenere in conto tutti i vincoli e le limitazioni sulle velocità e le accelerazioni del robot
- Non è un approccio in grado di adattarsi alle modifiche dell'ambiente correggendo la traiettoria
- Spesso le traiettorie calcolate non sono *smooth*

Controllo in feedback

Consideriamo di avere

- un robot con una posizione e orientazione arbitraria
- una posizione e una orientazione predefinita come obiettivo (goal)

Vogliamo progettare un controllore per tenere sotto controllo l'errore sulla robot pose sfruttando informazioni di feedback



Controllo in feedback

Il goal è dato dalle coordinate x, y, θ

L'errore di pose definito nel sistema di riferimento del robot $\{X_R, Y_R, \theta\}$ è $e = {}^R[x, y, \theta]^T$

L'obiettivo del controller è quello di trovare una matrice di controllo K (se esiste)

$$K = \begin{bmatrix} k_{11} & k_{12} & k_{13} \\ k_{21} & k_{22} & k_{23} \end{bmatrix} \quad \text{con } k_{ij} = k(t, e)$$

tale che il controllo dei valori $v(t)$ e $\omega(t)$

$$\begin{bmatrix} v(t) \\ \omega(t) \end{bmatrix} = K \cdot e = K \begin{bmatrix} x \\ y \\ \theta \end{bmatrix} {}^R$$

porti ad avere un errore e pari a zero $\lim_{t \rightarrow \infty} e(t) = 0$

Pose-error =

posizione corrente
– posizione goal

Modello cinematico

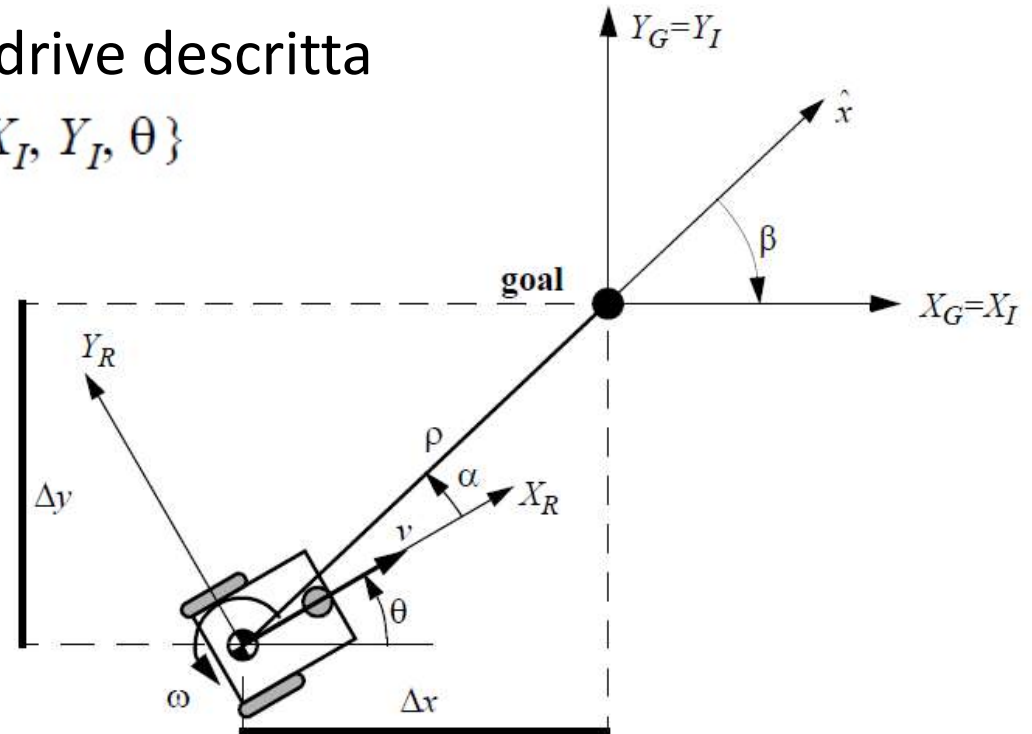
La cinematica di un robot differential drive descritta nel sistema di riferimento inerziale $\{X_I, Y_I, \theta\}$

è data da

$${}^I \begin{bmatrix} \dot{x} \\ \dot{y} \\ \dot{\theta} \end{bmatrix} = \begin{bmatrix} \cos \theta & 0 \\ \sin \theta & 0 \\ 0 & 1 \end{bmatrix} \begin{bmatrix} v \\ \omega \end{bmatrix}$$

dove \dot{x} e \dot{y} sono le velocità lineari nella direzione degli assi X_I e Y_I del sistema di riferimento inerziale

Sia α l'angolo tra l'asse X_R del sistema di riferimento del robot e il vettore \hat{x} che collega il centro dell'asse delle ruote con la posizione finale



Modello cinematico

Trasformando in coordinate polari con origine nel goal

$$\rho = \sqrt{\Delta x^2 + \Delta y^2}$$

$$\alpha = -\theta + \text{atan2}(\Delta y, \Delta x)$$

$$\beta = -\theta - \alpha$$

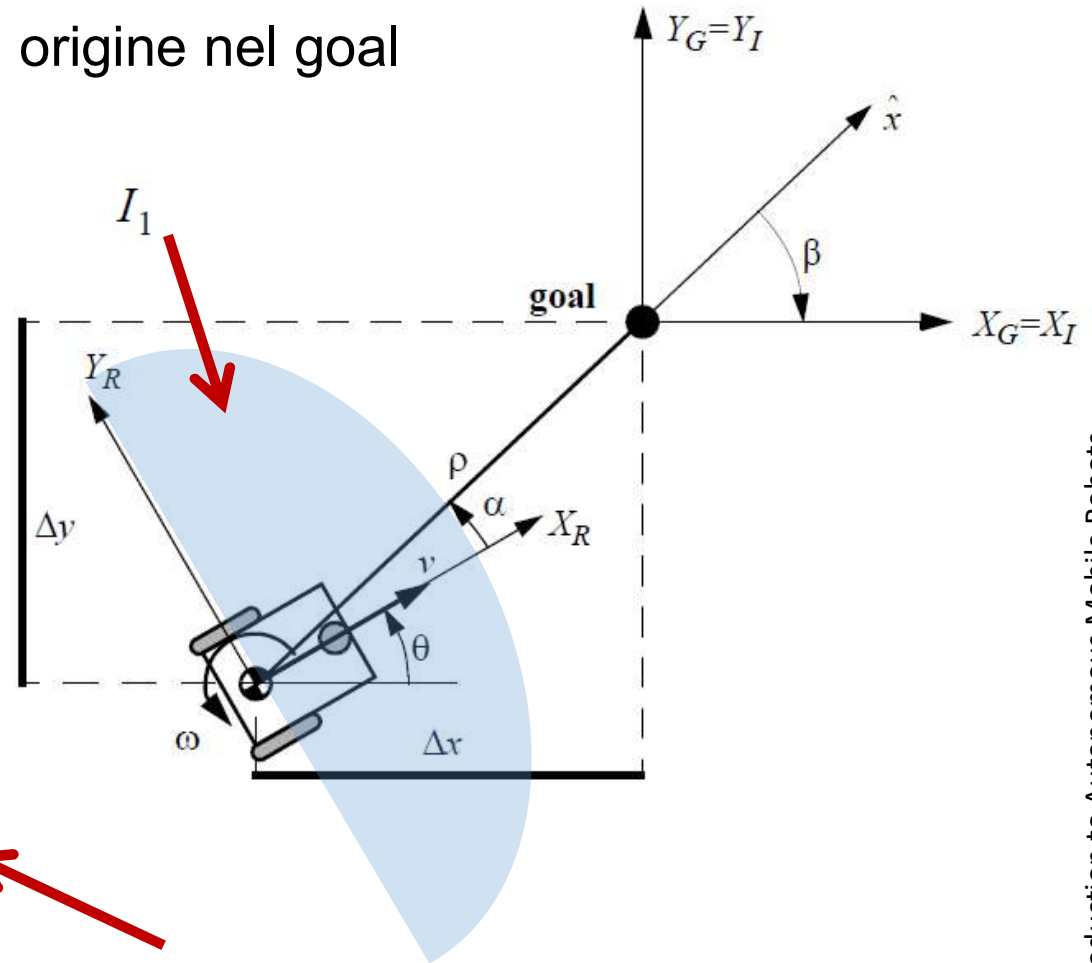
otteniamo

$$\begin{bmatrix} \dot{\rho} \\ \dot{\alpha} \\ \dot{\beta} \end{bmatrix} = \begin{bmatrix} -\cos \alpha & 0 \\ \frac{\sin \alpha}{\rho} & -1 \\ -\frac{\sin \alpha}{\rho} & 0 \end{bmatrix} \begin{bmatrix} v \\ \omega \end{bmatrix}$$

$$\alpha \in I_1$$

$$I_1 = \left(-\frac{\pi}{2}, \frac{\pi}{2} \right]$$

Il robot si muove in avanti con $v > 0$



Modello cinematico

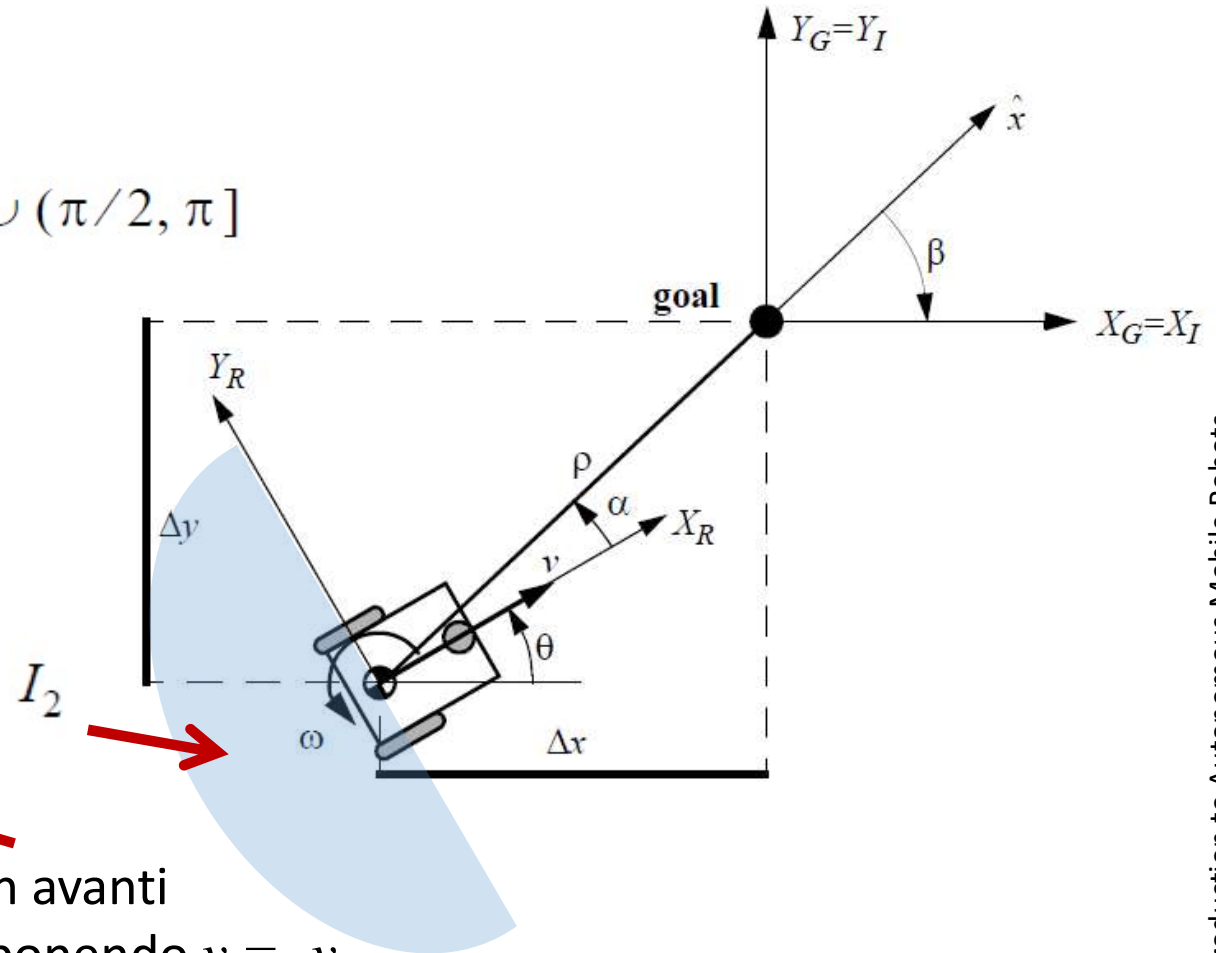
Allo stesso modo se

$$\alpha \in I_2 \quad \text{con} \quad I_2 = (-\pi, -\pi/2] \cup (\pi/2, \pi]$$

otteniamo

$$\begin{bmatrix} \dot{\rho} \\ \dot{\alpha} \\ \dot{\beta} \end{bmatrix} = \begin{bmatrix} \cos \alpha & 0 \\ -\frac{\sin \alpha}{\rho} & 1 \\ \frac{\sin \alpha}{\rho} & 0 \end{bmatrix} \begin{bmatrix} v \\ \omega \end{bmatrix}$$

La velocità in avanti
è ridefinita ponendo $v = -v$



La legge di controllo

Considerando la legge di controllo lineare

$$v = k_\rho \rho$$

$$\omega = k_\alpha \alpha + k_\beta \beta$$

Otteniamo un sistema closed-loop descritto da

$$\begin{bmatrix} \dot{\rho} \\ \dot{\alpha} \\ \dot{\beta} \end{bmatrix} = \begin{bmatrix} -k_\rho \rho \cos \alpha \\ k_\rho \sin \alpha - k_\alpha \alpha - k_\beta \beta \\ -k_\rho \sin \alpha \end{bmatrix}$$

che guiderà il robot al punto $(\rho, \alpha, \beta) = (0, 0, 0)$



UNIVERSITÀ
di **VERONA**

Dipartimento
di **INFORMATICA**

Laurea magistrale in Ingegneria e scienze informatiche

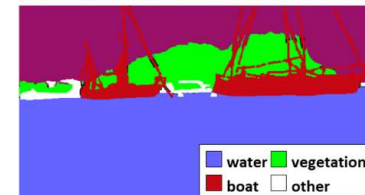
Cinematica

*manovrabilità e
traiettorie*

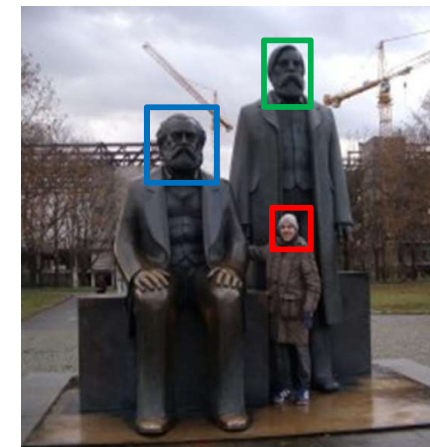
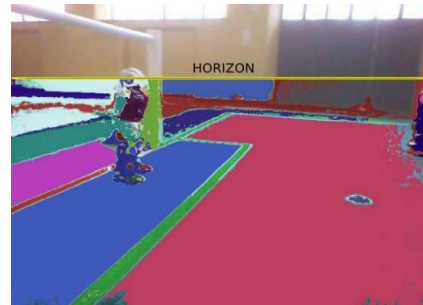


*Corso di Robotica
Parte di Laboratorio*

Docente:
Domenico Daniele Bloisi



Ottobre 2017



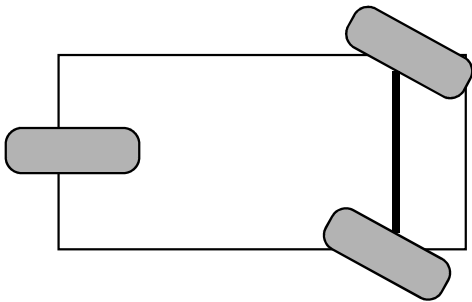
Esercizio 1

Considerando il veicolo Piaggio MP3

calcolare i valori di

$$\delta_m, \delta_s \text{ e } \delta_M$$

e individuare l'ICR per la
seguinte configurazione



<http://www.piaggio.com/mp3>

Esercizio 2

Lanciare il comando

```
roslaunch turtlebot3_gazebo turtlebot3_simulation.launch
```

Una volta verificato che l'esecuzione vada a buon fine,
modificare opportunamente il file

```
turtlebot3_simulations/turtlebot3_gazebo/src/gazebo_ros_turtlebot3.cpp
```

in modo che il robot incrementi del 10% la propria velocità lineare ad ogni svolta a sinistra

! Il file .cpp modificato va compilato lanciando il comando
`catkin_make` dal workspace ROS